

II-28

## 気候変動に伴う東南アジア諸河川の流出変動予測の一考察

筑波大学大学院 学生員 武井弘樹  
山梨大学工学部 正員 竹内邦良

## 1. はじめに

東南アジアにおける河川流出量の変化に関する研究は、欧米諸河川に比べて、これまであまり行われてこなかった。東南アジアでは、豊富な水資源への依存度が高いだけに、わずかな河川流出の変化でも、その影響は大きいと思われる。ここでは、信頼性は乏しいものの、簡単で直ちに概要の把握できるTurcとBudykoの2つの水収支式<sup>1)</sup>を用いて流出高の変動予測を試みる。

## 2. 解析対象域及び解析データ

解析対象とした流量、降雨、気温の観測地点の分布図を図-1に示す。対象域は、マレーシアのケランタン流域、タイのチャオプラヤ流域と、同じくタイのメコン川の支流であるムン及びチー流域である。流量と気温の観測地点は、各流域に1地点ずつ選点し、降水量の観測地点は、ケランタン、チャオプラヤ、メコン流域にそれぞれ4、12、10地点選点した。観測期間は、1938年から1988年である。流量と降水量のデータは、日データを加算して年データとして扱い、気温のデータは、各地点の30年間(1951~1980)の平均気温を用いた。

3. TurcとBudykoの水収支式<sup>1)</sup>

Turc(1954)は、蒸発量を降水量と気温の関数として、経験式を提案した。

$$R = P \left( 1 - \frac{L}{\sqrt{cL^2 + P^2}} \right) \quad (1)$$

$$L = 300 + 25T + 0.05T^3 [\text{mm}]$$

R: 流出高[mm]、P: 降水量[mm]、T: 気温[°C]、  
c: 河川によって異なる係数

一方、Budyko(1948)は、蒸発量を降水量と正味放射量の関数として、既存のデータを解析し、

$$R = P - \sqrt{rP \left( 1 - \exp \left( -\frac{r}{P} \right) \right) \tanh \left( \frac{P}{r} \right)} \quad (2)$$

$$r = 12.61 * Q [\text{mm}], Q: 正味放射量 [\text{W/m}^2]$$

を導いた。

2 流域における年流出高の実測値と上の2式による計算値の比較を、それぞれ図-2、図-3に示す。Turcの式において係数cは、実測値に最も近くなる値を用い、Budykoの式において正味放射量Qは、年間正味放射量の世界マップ<sup>2)</sup>に依った。TurcとBudykoの式による計算値と実測値の決定係数は、ケランタン流域では、

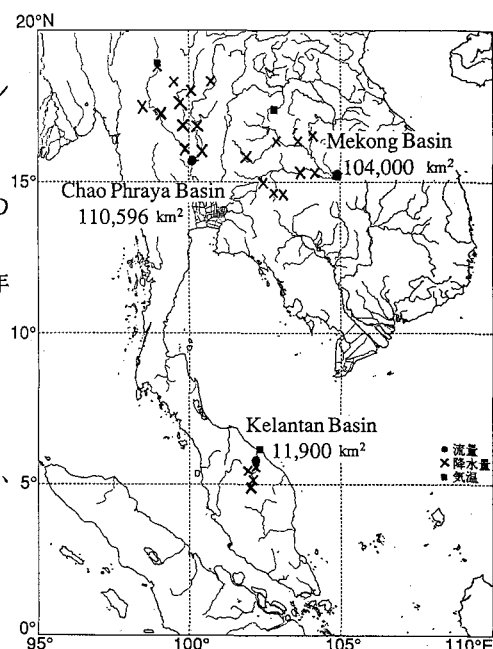


図-1 観測地点分布図

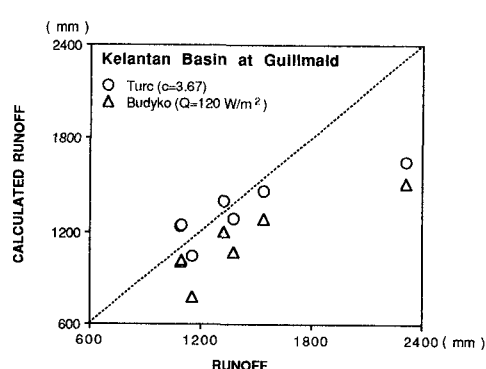


図-2 Kelantan流域における計算値と実測値の相関

それぞれ、0.535と0.124、チャオプラヤ流域では、0.163と-1.299、そして、メコン流域は、0.508と-1.109となった。決定係数が負であることは、推定式よりも平均値を用いた方が妥当であることを示している。この結果は、特にBudykoの式が東南アジアには適していないことを示している。なお、正味放射量は地域的に一定値として扱っている。

#### 4. 流出高の変動予測

水収支式としての信頼性は低いが、両式の示す温暖化の影響を以下に検討する。TurcとBudykoの式の全微分は以下のように表される。

$$dR = \left[ \frac{\partial R}{\partial P} \right] dP + \left[ \frac{\partial R}{\partial T} \right] dT \quad (3)$$

$$dR = \left[ \frac{\partial R}{\partial P} \right] dP + \left[ \frac{\partial R}{\partial r} \right] \left[ \frac{\partial r}{\partial T} \right] dT \quad (4)$$

それぞれの偏微分係数は(1), (2)式から求められるので、気候変動予測の地域的な各種モデルによる差は大きいが、(3), (4)式において昇温幅  $d T$  と降水量の増加幅

$d P$  の比例関係を仮定することにより、温暖化の影響を推定することができる。昇温と降水量増加率の関係は、モデルにより、また、地域により異なるが、ここでは、GFDLのモデルの全球平均データ<sup>3)</sup>をもとに比例定数を0.018( $^{\circ}\text{C}^{-1}$ )とする。表-1、表-2に、それぞれ、TurcとBudykoの式による東南アジア3流域における地表面の年平均気温が $1^{\circ}\text{C}$ 上昇したときの、流出高の計算結果を示す。また、表中の添字<sub>0</sub>は、現在の値であることを意味する。なお、表-1には、Zdzislaw KaczmarekとDariusz Krasuskiにより、GFDLのヨーロッパにおけるCO<sub>2</sub>倍増時のデータ(3 $^{\circ}\text{C}$ 昇温、降水量10%増加)をもとにして求められたヨーロッパの諸河川の流出高の変動予測<sup>1)</sup>を合わせて示す。

表-1 Turcの式による流出高の変動予測

流域名	Kelantan	Chao Praya	Mekong	Jucar	Vistula	Seine	Volga
流域面積 [ $\text{km}^2$ ]	11,900	110,596	104,000	42,900	194,900	427,000	161,700
$P_0$ [mm]	2,339	1,113	1,166	519	604	715	520
$T_0$ [ $^{\circ}\text{C}$ ]	26.6	25.9	26.8	13.7	7.5	10.0	2.8
$c$	3.67	1.24	1.10	0.88	0.55	0.76	1.16
$R_0$ [mm]	1,311	237	202	69	173	231	226
$\left[ \frac{\partial R}{\partial P} \right]_0$	0.69	0.39	0.38	0.43	0.80	0.76	0.79
$\left[ \frac{\partial R}{\partial T} \right]_0$	-20.48	-14.00	-16.37	-10.53	-20.40	-21.03	-13.05
$\Delta R [\%]$	-1.5	-5.7	-7.8	-13.4	-7.4	-1.2	0.9

#### 5. 結論

東南アジアにおける河川流出への地球温暖化の影響は、TurcとBudykoの両式を用いる限り、蒸発量の増加による減少効果が、降雨量の増加による増加効果を上回り、総合的には減少する。今後、より詳細な植生、地形、地質、浸透、蒸発散のデータを蓄積し、熱帯湿潤帯の物理水文機構に基づく水収支関係から、水文量の変動予測をする必要がある。

#### 6. 参考及び引用文献

1) Zdzislaw Kaczmarek・Dariusz Krasuski, 1991: Sensitivity of Water Balance to Climate Change and Variability / IIASA

2) 柴田 和雄、内嶋 善兵衛 編, 1987: 太陽エネルギーの分布と測定/(株)学会出版センター

3) 気象庁編, 1990: 温室効果気体の増加に伴う気候変化(II)/気候問題懇談会温室効果検討部会報告

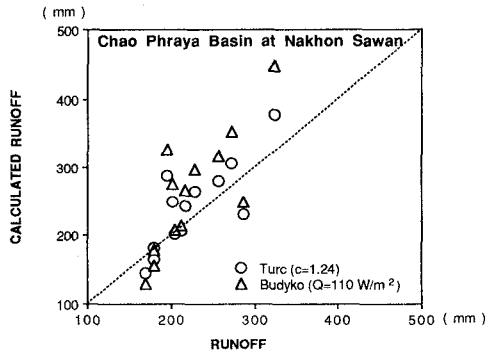


図-3 Chao Phraya流域における計算値と実測値の相関

表-2 Budykoの式による流出高の変動予測

流域名	Kelantan	Chao Praya	Mekong
$P_0$ [mm]	2,339	1,113	1,166
$T_0$ [ $^{\circ}\text{C}$ ]	26.6	25.9	26.8
$Q$ [ $\text{W/m}^2$ ]	120	110	110
$R_0$ [mm]	1098	258	287
$\left[ \frac{\partial R}{\partial P} \right]_0$	0.47	0.17	0.18
$\left[ \frac{\partial R}{\partial r} \right] \left[ \frac{\partial r}{\partial T} \right]_0$	-3.58	-1.58	-1.69
$\Delta R [\%]$	-0.3	-0.6	-0.6